

Decaimiento del Higgs

Juan Alberto Yepes Tamayo
Instituto de Física, Universidad de Antioquia

Resumen

La tasa de decaimiento diferencial y total para el decaimiento del Higgs al par fermión-antifermión $H \rightarrow f\bar{f}$ es calculada haciendo uso de las reglas de trazas para las matrices de Dirac γ y de las reglas de Feynman para el cálculo de la amplitud invariante \mathcal{M} . Así mismo se calcula la sección transversal para el proceso $e^+e^- \rightarrow H \rightarrow \text{all}$.

1. Tasa de decaimiento

La tasa de decaimiento Γ de una partícula inestable \mathcal{A} ¹ en un estado final específico se define como[1]

$$\Gamma \equiv \frac{\text{Número de decaimientos por unidad de tiempo}}{\text{Número de partículas } \mathcal{A} \text{ presentes}}.$$

Ahora, la probabilidad $\mathcal{P}(\mathcal{A} \rightarrow 12\dots n)$ de transición por unidad de tiempo para el proceso $\mathcal{A} \rightarrow 1 + 2 + \dots + n$ se define como

$$\mathcal{P}(\mathcal{A} \rightarrow 12\dots n) = |\langle \mathbf{p}_1 \mathbf{p}_2 \dots \mathbf{p}_n | \phi_{\mathcal{A}} \rangle|^2, \quad (1)$$

con $\mathbf{p}_1 \mathbf{p}_2 \dots \mathbf{p}_n$ los estados de momentos finales, y $\phi_{\mathcal{A}}$ la función de onda del estado inicial \mathcal{A} .

Ahora si se conocen el número de estados iniciales y finales(partículas) para el proceso, entonces la tasa de decaimiento diferencial para el proceso es

¹Asumiendo que está en reposo

$$d\Gamma \equiv \mathcal{P}(\mathcal{A} \rightarrow 12\dots n) \frac{\text{Número de estados finales}}{\text{Número de partículas } \mathcal{A} \text{ presentes}}. \quad (2)$$

Luego, si el número de estados finales para la i -partícula en el elemento $d^3\mathbf{p}_i$ es $\frac{d^3\mathbf{p}_i}{(2\pi)^3 2E_i}$, entonces el número de estados finales es

$$\text{Número de estados finales} = \prod_f \frac{d^3\mathbf{p}_i}{(2\pi)^3 2E_i}, \quad (3)$$

mientras que el número de estados iniciales se calcula sabiendo que si la función de onda $\phi_{\mathcal{A}}$ es de partícula libre, entonces $\phi_{\mathcal{A}} = Ne^{-ip_{\mathcal{A}} \cdot x}$, y si se asume que la partícula tiene espín cero entonces la densidad de probabilidad es,

$$\rho_{\mathcal{A}} = i \left(\phi_{\mathcal{A}}^* \frac{\partial \phi_{\mathcal{A}}}{\partial t} - \phi_{\mathcal{A}} \frac{\partial \phi_{\mathcal{A}}^*}{\partial t} \right) = 2E_{\mathcal{A}} |N|^2. \quad (4)$$

Luego el número de estados iniciales es, normalizando en un volumen unitario,

$$\int \rho_{\mathcal{A}} dV = 2E_{\mathcal{A}} |N|^2 = 1, \quad (5)$$

Usando Ecs.(1), (3) y (5) en Ec.(2), se tiene

$$d\Gamma \equiv |\langle \mathbf{p}_1 \mathbf{p}_2 \dots \mathbf{p}_n | \phi_{\mathcal{A}} \rangle|^2 \frac{1}{2E_{\mathcal{A}}} \prod_f \frac{d^3 p_i}{(2\pi)^3 2E_i}. \quad (6)$$

Ahora bien el elemento $\langle \mathbf{p}_1 \mathbf{p}_2 \dots \mathbf{p}_n | \phi_{\mathcal{A}} \rangle$ está definido como [2, 3]

$$\langle \mathbf{p}_1 \mathbf{p}_2 \dots \mathbf{p}_n | \phi_{\mathcal{A}} \rangle = (2\pi)^4 \delta^{(4)}(p_{\mathcal{A}} - \sum p_f) \mathcal{M}(\mathcal{A} \rightarrow 12\dots n), \quad (7)$$

con \mathcal{M} la amplitud invariante para el proceso $\mathcal{A} \rightarrow 1 + 2 + \dots + n$.

Empleando Ec.(7) en (6), y considerando que en el centro de masa la partícula \mathcal{A} decae en reposo, entonces $E_{\mathcal{A}} = m_{\mathcal{A}}$, luego se tiene

$$d\Gamma = \frac{1}{2m_{\mathcal{A}}} \prod_f \frac{d^3\mathbf{p}_i}{(2\pi)^3 2E_i} (2\pi)^4 \delta^{(4)}(p_{\mathcal{A}} - \sum p_f) |\mathcal{M}(\mathcal{A} \rightarrow 12\dots n)|^2. \quad (8)$$

Para el caso a tratar del decaimiento $H \rightarrow f\bar{f}$, entonces Ec.(8) queda

$$\begin{aligned} d\Gamma &= \frac{1}{2m_{\mathcal{A}}} \frac{1}{4\pi^2} \frac{d^3\mathbf{p}_1}{2E_1} \frac{d^3\mathbf{p}_2}{2E_2} \delta^{(4)}(p_{\mathcal{A}} - p_1 - p_2) |\mathcal{M}(\mathcal{A} \rightarrow 1+2)|^2 \\ &= \frac{1}{2m_{\mathcal{A}}} \frac{1}{4\pi^2} \frac{d^3\mathbf{p}_1}{2E_1} \frac{1}{2E_2} \delta(E_{\mathcal{A}} - E_1 - E_2) |\mathcal{M}(\mathcal{A} \rightarrow 1+2)|^2 \\ &= \frac{1}{2m_{\mathcal{A}}} \frac{1}{4\pi^2} \frac{\mathbf{p}_1^2 d\mathbf{p}_1 d\Omega_{cm}}{4E_1 E_2} \delta(E_{\mathcal{A}} - E_1 - E_2) |\mathcal{M}(\mathcal{A} \rightarrow 1+2)|^2, \end{aligned} \quad (9)$$

y puesto que por conservación de energía y momentum $\mathbf{p}_1 = \mathbf{p}_2$, entonces $E_{\mathcal{A}} = E_1 + E_2 = (m_1^2 + \mathbf{p}_1^2)^{1/2} + (m_2^2 + \mathbf{p}_1^2)^{1/2}$, luego

$$\frac{dE_{\mathcal{A}}}{d\mathbf{p}_1} = \mathbf{p}_1 \left(\frac{1}{E_1} + \frac{1}{E_2} \right). \quad (10)$$

Sustituyendo Ec.(10) en (9) queda

$$\begin{aligned} d\Gamma &= \frac{1}{2m_{\mathcal{A}}} \frac{1}{4\pi^2} \frac{\mathbf{p}_1 dE_{\mathcal{A}} d\Omega}{4(E_1 + E_2)} \delta(E_{\mathcal{A}} - E_1 - E_2) |\mathcal{M}(\mathcal{A} \rightarrow 1+2)|^2 \\ &= \frac{1}{2m_{\mathcal{A}}} \frac{1}{4\pi^2} \frac{\mathbf{p}_1 d\Omega_{cm}}{4E_{\mathcal{A}}} |\mathcal{M}(\mathcal{A} \rightarrow 1+2)|^2 \end{aligned}$$

Finalmente,

$$\frac{d\Gamma}{d\Omega_{cm}} = \frac{\mathbf{p}_1}{32\pi^2 m_{\mathcal{A}}^2} |\mathcal{M}(\mathcal{A} \rightarrow 1+2)|^2 \quad (11)$$

2. Reglas de Feynman y técnicas de trazas

La interacción del bosón de Higgs con los fermiones² está dada por el término de interacción de Yukawa[4]

$$\begin{aligned} \mathcal{L}_{Yukawa} &= -G_f \frac{(\nu + \eta)}{\sqrt{2}} (\bar{e}_R e_L + \bar{e}_L e_R) \\ &= -\frac{G_f \nu}{\sqrt{2}} \bar{e}e - \frac{G_f \eta}{\sqrt{2}} \bar{e}e \end{aligned}$$

Tal que el electrón ha adquirido una masa $m_e = G_f \nu / \sqrt{2}$, y la constante de acople del bosón de Higgs con los electrones es $G_f \sqrt{2}$ ó m_e / ν , de aquí que sea esta cantidad la que se asigna al vértice del diagrama del proceso.

El proceso de decaimiento $H \rightarrow f\bar{f}$ es mostrado en la figura 1.

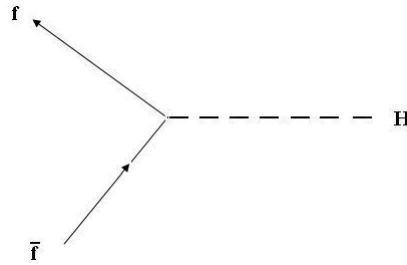


Figura 1: Diagrama de proceso $H \rightarrow f\bar{f}$

²En este caso sólo aparecen los electrones, pero es válido también para los otros fermiones

De acuerdo a las reglas de Feynman, las cantidades algebraicas que se asignan al vértice y las líneas externas del anterior diagrama se indican en la figura 2.

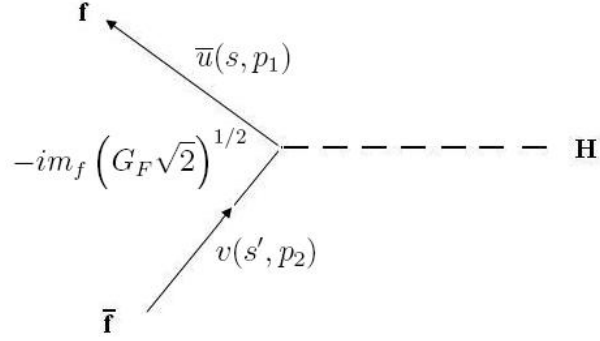


Figura 2: Reglas de Feynman del proceso $H \rightarrow f\bar{f}$

Luego la amplitud invariante \mathcal{M} es el producto de todas las cantidades que contribuyen al diagrama,

$$i\mathcal{M} = -im_f \left(G_F \sqrt{2} \right)^{1/2} \bar{u}(s, p_1) v(s', p_2). \quad (12)$$

Donde p_1 , s , p_2 y s' son los momentos y espines del fermión y antifermión respectivamente.

Ahora, teniendo en cuenta que $\gamma^{0\dagger} = \gamma^0$

$$\begin{aligned} & (\bar{u}(s, p_1) v(s', p_2))^\dagger \\ &= v^\dagger(s', p_2) (\bar{u}(s, p_1))^\dagger \\ &= v^\dagger(s', p_2) (u^\dagger(s, p_1) \gamma^0)^\dagger \\ &= v^\dagger(s', p_2) (\gamma^{0\dagger} u(s, p_1)) \\ &= v^\dagger(s', p_2) (\gamma^0 u(s, p_1)) \\ &= (\bar{v}(s', p_2) u(s, p_1)). \end{aligned} \quad (13)$$

Entonces elevando al cuadrado \mathcal{M} de la Ec.(12), tomando relación (13), y sumando sobre los posibles estados de polarización de los espines de las partículas finales, se tiene

$$\sum_{s,s'} |\mathcal{M}|^2 = G_F m_f^2 \sqrt{2} \sum_{s,s'} (\bar{u}(s, p_1) v(s', p_2)) (\bar{v}(s', p_2) u(s, p_1)). \quad (14)$$

Ahora, la suma de la Ec.(14) se calcula expresando los productos $\bar{u}v$ y $\bar{v}u$ en términos de componentes así

$$\begin{aligned} & \sum_{s,s'} (\bar{u}(s, p_1) v(s', p_2)) (\bar{v}(s', p_2) u(s, p_1)) \\ &= \sum_{s,s'} (\bar{u}_\alpha(s, p_1) v_\alpha(s', p_2)) (\bar{v}_\beta(s', p_2) u_\beta(s, p_1)) \\ &= \sum_{s,s'} (u_\beta(s, p_1) \bar{u}_\alpha(s, p_1)) (v_\alpha(s', p_2) \bar{v}_\beta(s', p_2)) \\ &= \sum_s u_\beta(s, p_1) \bar{u}_\alpha(s, p_1) \sum_{s'} v_\alpha(s', p_2) \bar{v}_\beta(s', p_2) \\ &= (\not{p}_1 + m_f)_{\beta\alpha} (\not{p}_2 - m_f)_{\alpha\beta} \\ &= \text{tr}[(\not{p}_1 + m_f)(\not{p}_2 - m_f)]. \end{aligned} \quad (15)$$

Y teniendo en cuenta $\text{tr}[\gamma_\nu] = 0$ y la relación de anticonmutación de las matrices γ_μ ,

$$\begin{aligned} \text{tr}[\gamma_\mu \gamma_\nu] &= \text{tr}[-\gamma_\nu \gamma_\mu + 2g^{\mu\nu}] \\ &= \text{tr}[-\gamma_\nu \gamma_\mu] + 2g^{\mu\nu} \text{tr}[\mathbb{1}] \\ &= \text{tr}[-\gamma_\mu \gamma_\nu] + 2g^{\mu\nu} 4 \quad (\text{tr}[AB] = \text{tr}[BA]) \\ \text{tr}[\gamma_\mu \gamma_\nu] &= 4g^{\mu\nu}. \end{aligned}$$

Desarrollando la traza de Ec.(15) y usando resultado anterior, se llega a

$$\begin{aligned}
& tr[(\not{p}_1 + m_f)(\not{p}_2 - m_f)] \\
&= tr[(\gamma_\mu p_1^\mu + m_f)(\gamma_\nu p_2^\nu - m_f)] \\
&= tr[\gamma_\mu \gamma_\nu p_1^\mu p_2^\nu - m_f \gamma_\mu p_1^\mu + m_f \gamma_\nu p_2^\nu - m_f^2] \\
&= p_1^\mu p_2^\nu tr[\gamma_\mu \gamma_\nu] - 4m_f^2 \\
&= 4g_{\mu\nu} p_1^\mu p_2^\nu - 4m_f^2 \\
&= 4(p_1 \cdot p_2 - m_f^2).
\end{aligned} \tag{16}$$

Luego reemplazando Ecs.(15) y (16) en (14) se tiene que la amplitud invariante es

$$\sum_{s,s'} |\mathcal{M}|^2 = G_F m_f^2 \sqrt{2} \cdot 4(p_1 \cdot p_2 - m_f^2).$$

Puesto que $E_1 = E_2 = M_H/2$ y $\mathbf{p}_1 = -\mathbf{p}_2$, el término $p_1 \cdot p_2 - m_f^2$ puede expresarse en la forma

$$\begin{aligned}
p_1 \cdot p_2 - m_f^2 &= E_1 E_2 - \mathbf{p}_1 \cdot \mathbf{p}_2 - m_f^2 \\
&= E_1^2 + \mathbf{p}_1^2 - m_f^2 \\
&= E_1^2 + (E_1^2 - m_f^2) - m_f^2 \\
&= 2(E_1^2 - m_f^2) \\
&= 2 \left(\frac{M_H^2}{4} - m_f^2 \right) \\
&= \frac{M_H^2}{2} \left(1 - 4 \frac{m_f^2}{M_H^2} \right)
\end{aligned} \tag{17}$$

Entonces la amplitud invariante queda

$$\sum_{s,s'} |\mathcal{M}|^2 = 2G_F M_H^2 m_f^2 \sqrt{2} \left(1 - 4 \frac{m_f^2}{M_H^2} \right). \tag{18}$$

Por otro lado, de la cinemática del problema se tiene que $\mathbf{p}_1^2 = \mathbf{p}_2^2$ y $E_{\mathcal{A}} = E_1 + E_2$, luego

$$\begin{aligned}
\mathbf{p}_1^2 &= \mathbf{p}_2^2 = E_2^2 - m_2^2 \\
&= (E_{\mathcal{A}} - E_1)^2 - m_2^2 \\
&= E_{\mathcal{A}}^2 - 2E_{\mathcal{A}}E_1 + E_1^2 - m_2^2 \\
&= E_{\mathcal{A}}^2 - 2E_{\mathcal{A}}E_1 + \mathbf{p}_1^2 + m_1^2 - m_2^2 \\
0 &= E_{\mathcal{A}}^2 - 2E_{\mathcal{A}}E_1 + m_1^2 - m_2^2 \\
E_1 &= \frac{1}{2E_{\mathcal{A}}} (E_{\mathcal{A}}^2 + m_1^2 - m_2^2) \\
(\mathbf{p}_1^2 + m_1^2)^{1/2} &= \frac{1}{2E_{\mathcal{A}}} (E_{\mathcal{A}}^2 + m_1^2 - m_2^2) \\
\mathbf{p}_1^2 &= \frac{1}{4E_{\mathcal{A}}^2} (E_{\mathcal{A}}^2 + m_1^2 - m_2^2)^2 - m_1^2.
\end{aligned}$$

Si las masas de las partículas finales son iguales, entonces lo anterior queda

$$\begin{aligned}
\mathbf{p}_1^2 &= \frac{1}{4}E_{\mathcal{A}}^2 - m_1^2 \\
&= \frac{1}{4}E_{\mathcal{A}}^2 \left(1 - \frac{m_1^2}{E_{\mathcal{A}}^2}\right) \\
\mathbf{p}_1 &= \frac{1}{2}E_{\mathcal{A}} \left(1 - 4\frac{m_1^2}{E_{\mathcal{A}}^2}\right)^{1/2}.
\end{aligned}$$

Que para el caso a tratar $E_{\mathcal{A}} = m_{\mathcal{A}} = M_H$ y $m_1 = m_f$, luego

$$\mathbf{p}_1 = \frac{1}{2}M_H \left(1 - 4\frac{m_f^2}{M_H^2}\right)^{1/2}. \quad (19)$$

Como la partícula que decae es un Higgs, entonces haciendo $m_{\mathcal{A}} \rightarrow M_H$ en Ec.(11) y reemplazando Ecs.(18) y (19) en (11), se llega a

$$\begin{aligned}\frac{d\Gamma}{d\Omega_{cm}} &= \frac{1}{32\pi^2 M_H^2} \frac{1}{2} M_H \left(1 - 4\frac{m_f^2}{M_H^2}\right)^{1/2} 2G_F M_H^2 m_f^2 \sqrt{2} \left(1 - 4\frac{m_f^2}{M_H^2}\right) \\ &= \frac{M_H m_f^2 G_F}{16\pi^2 \sqrt{2}} \left(1 - 4\frac{m_f^2}{M_H^2}\right)^{3/2}.\end{aligned}\quad (20)$$

Luego la tasa de decaimiento total es,

$$\Gamma_{H \rightarrow f\bar{f}} = \frac{M_H m_f^2 G_F}{4\pi \sqrt{2}} \left(1 - 4\frac{m_f^2}{M_H^2}\right)^{3/2}, \quad (21)$$

que para el caso en que $m_f \ll M_H$ se reduce a

$$\Gamma_{H \rightarrow f\bar{f}} = \frac{M_H m_f^2 G_F}{4\pi \sqrt{2}}. \quad (22)$$

Así mismo para el proceso $e^+e^- \rightarrow H \rightarrow \text{all}$ se calculará la sección transversal. El diagrama del proceso es mostrado en la figura 3

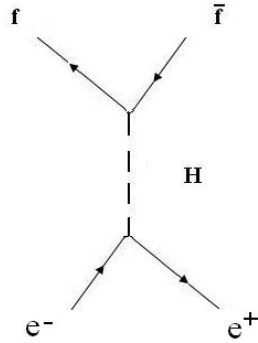


Figura 3: Diagrama de proceso $e^+e^- \rightarrow H \rightarrow \text{all}$

Teniendo en cuenta que el propagador para una partícula inestable de masa M es $i(q^2 - M^2 + iM\Gamma_t)^{-1}$, con Γ_t la tasa de decaimiento total³, el diagrama con el propagador se muestra en la figura 4.

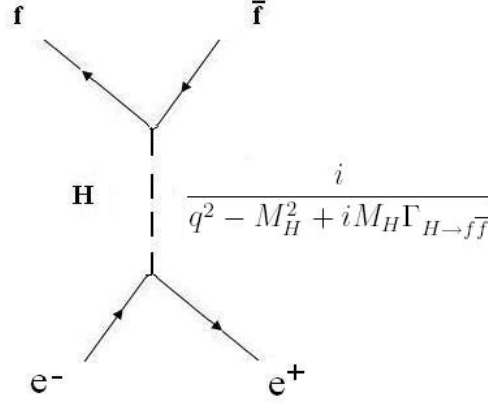


Figura 4: Reglas de Feynman del proceso $e^+e^- \rightarrow$ all

Luego la amplitud invariante \mathcal{M} es el producto de todas las cantidades que contribuyen al diagrama,

$$\begin{aligned}
 i\mathcal{M} &= (-im_e G_F \sqrt{2})^{1/2} \bar{v}(s', p_2) u(s, p_1) \times \\
 &\quad \frac{i}{q^2 - M_H^2 + iM_H \Gamma_{H \rightarrow f \bar{f}}} (-im_f G_F \sqrt{2})^{1/2} \bar{u}(r, k_1) v(r', k_2) \\
 &= -m_e m_f G_F \sqrt{2} \bar{v}(s', p_2) u(s, p_1) \frac{i}{q^2 - M_H^2 + iM_H \Gamma_{H \rightarrow f \bar{f}}} \bar{u}(r, k_1) v(r', k_2).
 \end{aligned} \tag{23}$$

Donde p_1 , s , p_2 y s' son los momentos y espines del electrón y positrón respectivamente, k_1 , r y k_2 , r' los del fermión y antifermión respectivamente, y q el momento del Higgs, dado por $q = p_1 + p_2$.

Elevando al cuadrado \mathcal{M} de la Ec.(23), teniendo en cuenta relación (14), y sumando sobre los posibles estados de polarización finales y promediando sobre los posibles estados de polarización de los espines iniciales, se tiene

³Es decir a todos los modos posibles.

$$\begin{aligned}
\frac{1}{2} \sum_s \frac{1}{2} \sum_{s'} \sum_{r, r'} |\mathcal{M}|^2 &= \frac{m_e^2 m_f^2 G_F^2}{(q^2 - M_H^2)^2 + M_H^2 \Gamma_{H \rightarrow f\bar{f}}^2} \times \\
&\frac{1}{2} \sum_{s, s', r, r'} \bar{v}(s', p_2) u(s, p_1) \bar{u}(r, k_1) v(r', k_2) \bar{u}(s, p_1) v(s', p_2) \bar{v}(r', k_2) u(r, k_1).
\end{aligned} \tag{24}$$

La suma de la anterior Ec., se desarrolla en forma similar a la de la Ec.(15) y usando (16) y (17),

$$\begin{aligned}
&\sum_{s, s', r, r'} \bar{v}(s', p_2) u(s, p_1) \bar{u}(r, k_1) v(r', k_2) \bar{u}(s, p_1) v(s', p_2) \bar{v}(r', k_2) u(r, k_1) \\
&= \sum_{s, s', r, r'} (\bar{v}_\alpha(s', p_2) u_\alpha(s, p_1)) (\bar{u}_\beta(r, k_1) v_\beta(r', k_2)) (\bar{u}_\gamma(s, p_1) v_\gamma(s', p_2)) (\bar{v}_\delta(r', k_2) u_\delta(r, k_1)) \\
&= \sum_s (u_\alpha(s, p_1) \bar{u}_\gamma(s, p_1)) \sum_{s'} (v_\gamma(s', p_2) \bar{v}_\alpha(s', p_2)) \sum_r (u_\delta(r, k_1) \bar{u}_\beta(r, k_1)) \sum_{r'} (v_\beta(r', k_2) \bar{v}_\delta(r', k_2)) \\
&= (\not{p}_1 + m_e)_{\alpha\gamma} (\not{p}_2 - m_e)_{\gamma\alpha} (\not{k}_1 + m_f)_{\delta\beta} (\not{k}_2 - m_f)_{\beta\delta} \\
&= \text{tr}[(\not{p}_1 + m_e)(\not{p}_2 - m_e)] \text{tr}[(\not{k}_1 + m_f)(\not{k}_2 - m_f)] \\
&= 16(p_1 \cdot p_2 - m_e^2)(k_1 \cdot k_2 - m_f^2) \\
&= 16 \frac{M_H^2}{2} \left(1 - 4 \frac{m_e^2}{M_H^2}\right) \frac{M_H^2}{2} \left(1 - 4 \frac{m_f^2}{M_H^2}\right) \\
&= 4M_H^4 \left(1 - 4 \frac{m_e^2}{M_H^2}\right) \left(1 - 4 \frac{m_f^2}{M_H^2}\right).
\end{aligned}$$

Reemplazando lo anterior en Ec.(24) se tiene que la amplitud invariante es

$$\begin{aligned}
\frac{1}{2} \sum_s \frac{1}{2} \sum_{s'} \sum_{r, r'} |\mathcal{M}|^2 &= \frac{m_e^2 m_f^2 G_F^2}{(q^2 - M_H^2)^2 + M_H^2 \Gamma_{H \rightarrow f\bar{f}}^2} \frac{1}{2} 4M_H^4 \left(1 - 4 \frac{m_e^2}{M_H^2}\right) \left(1 - 4 \frac{m_f^2}{M_H^2}\right) \\
&= \frac{2M_H^4 m_e^2 m_f^2 G_F^2}{(q^2 - M_H^2)^2 + M_H^2 \Gamma_{H \rightarrow f\bar{f}}^2} \left(1 - 4 \frac{m_e^2}{M_H^2}\right) \left(1 - 4 \frac{m_f^2}{M_H^2}\right).
\end{aligned} \tag{25}$$

Ahora para un proceso 2cuerpos \rightarrow 2cuerpos la sección transversal diferencial está dada por

$$d\sigma = \frac{1}{2E_{\mathcal{A}}2E_{\mathcal{B}}|\mathbf{v}_{\mathcal{A}} - \mathbf{v}_{\mathcal{B}}|} \frac{1}{4\pi^2} \frac{\mathbf{p}_1 d\Omega_{cm}}{4(E_{\mathcal{A}} + E_{\mathcal{B}})} |\mathcal{M}(\mathcal{A}, \mathcal{B} \rightarrow 1+2)|^2.$$

En el centro de masa, $E_{\mathcal{A}} = E_{\mathcal{B}} = E_{cm}/2$, $E_{\mathcal{A}} + E_{\mathcal{B}} = E_{cm}$ y $|\mathbf{v}_{\mathcal{A}} - \mathbf{v}_{\mathcal{B}}| = 2$ luego la Ec. anterior queda

$$\frac{d\sigma}{d\Omega_{cm}} = \frac{\mathbf{p}_1}{32\pi^2 E_{cm}^3} |\mathcal{M}(\mathcal{A}, \mathcal{B} \rightarrow 1+2)|^2. \quad (26)$$

Reemplazando Ecs.(19) y (25) en (26), y teniendo en cuenta (21) se tiene

$$\begin{aligned} \frac{d\sigma}{d\Omega_{cm}} &= \frac{1}{32\pi^2 E_{cm}^3} \frac{1}{2} M_H \left(1 - 4 \frac{m_f^2}{M_H^2}\right)^{1/2} \frac{2M_H^4 m_e^2 m_f^2 G_F^2}{(q^2 - M_H^2)^2 + M_H^2 \Gamma_{H \rightarrow f\bar{f}}^2} \left(1 - 4 \frac{m_e^2}{M_H^2}\right) \left(1 - 4 \frac{m_f^2}{M_H^2}\right) \\ &= \frac{1}{32\pi^2} \frac{M_H^2 m_e^2 m_f^2 G_F^2}{(q^2 - M_H^2)^2 + M_H^2 \Gamma_{H \rightarrow f\bar{f}}^2} \left(1 - 4 \frac{m_e^2}{M_H^2}\right) \left(1 - 4 \frac{m_f^2}{M_H^2}\right)^{3/2} \\ &= \frac{1}{4\pi\sqrt{2}} \frac{M_H m_e^2 G_F}{(q^2 - M_H^2)^2 + M_H^2 \Gamma_{H \rightarrow f\bar{f}}^2} \left(1 - 4 \frac{m_e^2}{M_H^2}\right) \Gamma_{H \rightarrow f\bar{f}} \\ &= \frac{\Gamma_{H \rightarrow e^+e^-} \Gamma_{H \rightarrow f\bar{f}}}{(q^2 - M_H^2)^2 + M_H^2 \Gamma_{H \rightarrow f\bar{f}}^2} \left(1 - 4 \frac{m_e^2}{M_H^2}\right)^{-1/2} \end{aligned}$$

Sabiendo que $q = p_1 + p_2 = \sqrt{s}$, con s energía del centro de masa, la sección transversal total es

$$\sigma(e^+e^- \rightarrow H \rightarrow f\bar{f}) = \frac{4\pi \Gamma_{H \rightarrow e^+e^-} \Gamma_{H \rightarrow f\bar{f}}}{(s - M_H^2)^2 + M_H^2 \Gamma_{H \rightarrow f\bar{f}}^2} \left(1 - 4 \frac{m_e^2}{M_H^2}\right)^{-1/2}, \quad (27)$$

que para el caso en que $m_f \ll M_H$ se reduce a

$$\sigma(e^+e^- \rightarrow H \rightarrow f\bar{f}) = \frac{4\pi\Gamma_{H \rightarrow e^+e^-}\Gamma_{H \rightarrow f\bar{f}}}{(s - M_H^2)^2 + M_H^2\Gamma_{H \rightarrow f\bar{f}}^2}. \quad (28)$$

La anterior Ec., es un caso especial de la fórmula de Breit-Wigner[5]

$$\sigma_T(i \rightarrow X) = 4\pi \frac{m^2}{\mathbf{p}^2} \frac{2J+1}{(2s_1+1)(2s_2+1)} \frac{\Gamma_i\Gamma_X}{(s - m^2)^2 + m^2\Gamma_t^2}, \quad (29)$$

para la contribución de una partícula inestable o resonancia (de espín J , masa m y tasa de decaimiento total Γ_t) a $\sigma(i \rightarrow X)$ en la región de $\sqrt{s} = m$, y con Γ_i y Γ_X las tasas de decaimiento de la resonancia a los canales i y X respectivamente, s_1 y s_2 los espines de las partículas que colisionan, y \mathbf{p} el trimomento de una de las partículas iniciales.

En efecto, para la reacción $e^+e^- \rightarrow H \rightarrow \text{all}$ se tiene $s_1 = s_2 = 1/2$, $J = 0$, $m = M_H$, $\mathbf{p}^2 = M_H^2/4$, $\Gamma_i = \Gamma_{H \rightarrow e^+e^-}$ y $\Gamma_X = \Gamma_{H \rightarrow f\bar{f}}$ con lo que Ec.(29) se reduce a Ec.(28). Para $s = M_H^2$, la sección transversal $\sigma(e^+e^- \rightarrow H \rightarrow f\bar{f})$ presenta el pico de resonancia

$$\begin{aligned} \sigma_{\text{peak}}(e^+e^- \rightarrow H \rightarrow f\bar{f}) &= \frac{4\pi}{M_H^2} \frac{\Gamma_{H \rightarrow e^+e^-}}{\Gamma_{H \rightarrow f\bar{f}}} \\ &= \frac{4\pi}{M_H^2} \frac{m_e^2}{m_f^2}, \end{aligned}$$

que es muy pequeño aún para bosones de Higgs livianos, debido a la magnitud de m_e o acople de $He\bar{e}^4$. De aquí que los procesos $e^+e^- \rightarrow H \rightarrow \text{all}$ no sean los más favorables para la producción del Higgs[6, 7].

⁴Dicho acople es m_e/ν .

Referencias

- [1] Michael E. Peskin and Daniel V. Schroeder. *An introduction to Quantum Field Theory*, Addison-Wesley Publishing Company(1995), p. 101
- [2] ibdg 1, p. 105
- [3] Francis Halzen and Alan D. Martin. *Quarks & Leptons: An introductory Course in Modern Particle Physics*, John Wiley & Sons(1984), p. 89
- [4] Chris Quigg. *Gauge theory of the Strong, Weak and Electromagnetic Interactions*, Westview Press(1997), p. 110
- [5] F. Mandl and G. Shaw. *Quantum Field Theory*, John Wiley & Sons(1993), p. 319-320
- [6] ibdg 4, p. 130.
- [7] ibdg 5, p. 325.